

-6

-8

C<sub>e</sub>

M<sub>e</sub>

Y<sub>e</sub>

N

v

Y

O

o

M

c

V

C

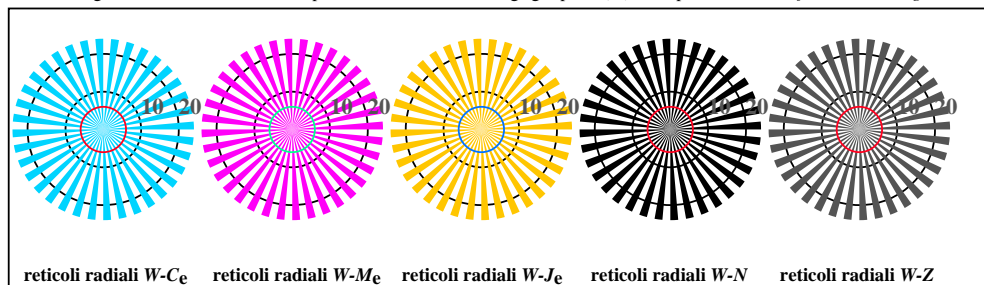
vedi file simili: http://standards.iso.org/iso/9241/306/ed-2/AI27/AI27L0FA.TXT /PS

informazioni tecniche: http://farbe.li.tu-berlin.de/o http://farbe.li.tu-berlin.de/AE.HTM

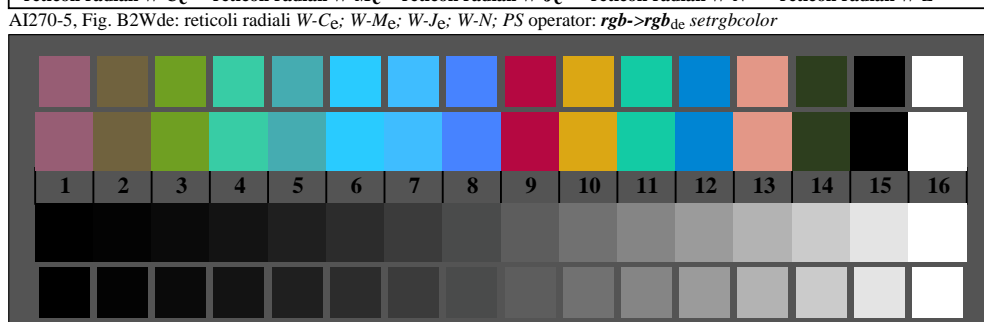
V L O Y M C  
http://standards.iso.org/iso/9241/306/ed-2/AI27/AI27F0NX.PDF /.PS; linearizzazione 3D, pagine 16/2  
F: linearizzazione 3D AI27/AI27LF0NX.PDF /.PS nel file (F)



AI270-3, Fig. B1Wde: Flower motif, 14 prova colori CIE e 2 + 16 grigio passi (nf); PS operator: settransfer, 3 colorimage



reticolli radiali W-C<sub>e</sub> reticolli radiali W-M<sub>e</sub> reticolli radiali W-J<sub>e</sub> reticolli radiali W-N reticolli radiali W-Z



AI270-7, Fig. B3Wde: 14 prova colori CIE i 2 + 16 grigio passi (sf);  $rgb/cm\text{y}0->rgb_{de}$  setrgbcolor

Grafico AI27 conformemente a grafico 2 a ISO/IEC 15775  
Tavola dei colori cromatici CMYK



-6

-8

C

M

Y

L

N

V

C

o

M

c

V

C

Y

O

M

c

V

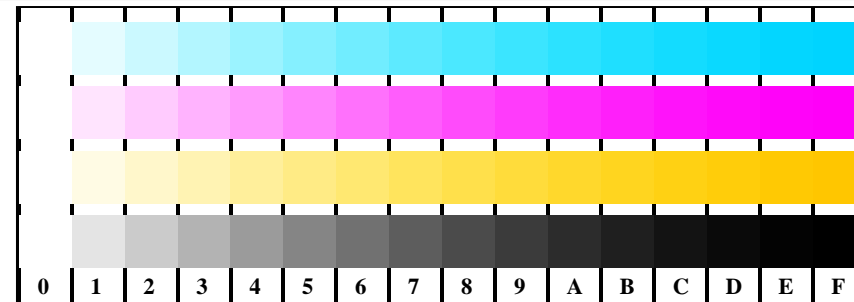
C

Y

O

-6

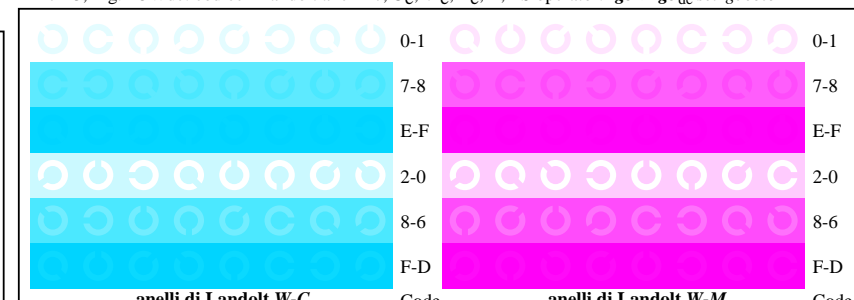
-8



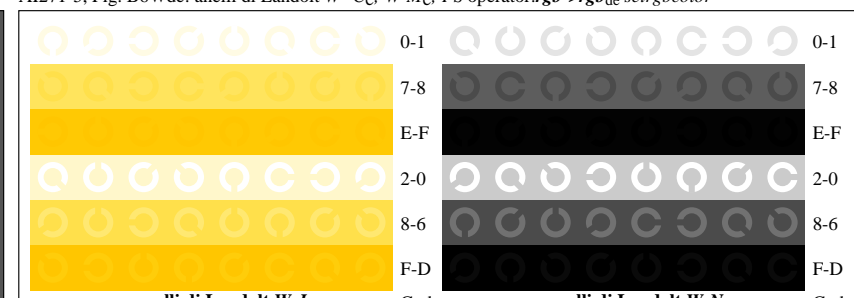
AI271-1, Fig. B4Wde: 16 equidistante passi W-C<sub>e</sub>; W-M<sub>e</sub>; W-J<sub>e</sub>; W-N;  $rgb/cm\text{y}0->rgb_{de}$  setrgbcolor

++..	C	lmno	0	pqrs	tuvw
xyz;	C	hijk	0	pqrs	lmno
tuvw	C	defg	0	hijk	xyz;
pqrs	C	!abc	0	defg	tuvw
lmno	C	xyz;	0	!abc	defg
hijk	C	tuvw	0	6 N C <sub>e</sub> M <sub>e</sub> Y <sub>e</sub> Z	!abc
defg	C	pqrs	0	N C <sub>e</sub> M <sub>e</sub> Y <sub>e</sub> Z	6 N C <sub>e</sub> M <sub>e</sub> Y <sub>e</sub> Z
!abc	C	10 N C <sub>e</sub> M <sub>e</sub> Y <sub>e</sub> Z	0		

AI271-3, Fig. B5Wde: codice i Landolt anelli N; C<sub>e</sub>; M<sub>e</sub>; Y<sub>e</sub>; Z; PS operator:  $rgb->rgb_{de}$  setrgbcolor



AI271-5, Fig. B6Wde: anelli di Landolt W-C<sub>e</sub>; W-M<sub>e</sub>; PS operator:  $rgb->rgb_{de}$  setrgbcolor



AI271-7, Fig. B7Wde: anelli di Landolt W-J<sub>e</sub>; W-N; PS operator:  $rgb->rgb_{de}$  setrgbcolor

Input:  $rgb/cm\text{y}0/000n/w$  set...  
Output:  $->rgb_{de}$  setrgbcolor

